

1-3 衝撃を受けた長方形ばかりの塑性変形について

山口大学工学部 正員 最上幸夫
山口大学大学院 学生員 小島一広

1. はじめに

各種材料が衝撃を受ける場合の破壊や塑性変形といった現象は、工学的立場から、材料の動力学的特性として、今後、十分究明されねばならない重要な課題の一つである。塑性変形においては、弾性変形と異なり大きなエネルギーが消費されるので、塑性をもつということは、衝撃を受ける構造物にとって、危険な瞬間的破壊に対する安全弁ともなるものである。本研究は、衝撃による塑性変形問題解決のアプローチの第一歩として、最も基礎的なばかり構造形式の衝撃による塑性変形の現象をとりあげ、両端固定ばかりについて、簡単な算式を提案し、その妥当性と適用範囲を調べたものである。

2. 実験概要

ばかり材料としては、十分延性に富む軟鋼を使用し、正方形断面($0.95\text{cm} \times 0.95\text{cm}$)のものを採用した。また、ばかりに加える衝撃としては、鋼製ばかり、約7.5kg, 10kg, 12.5kg, 15kgの4種類について、おのおの落下高を30cm～70cmの間で10cmおきに5段階に分けて、標準レールに添わせて自然落下させた。各荷重、各落下高についてスパン長は、60cm～100cmまで10cmおきに5種類変更、同一路端についてはさらに12通りを取り扱って5回以上同一実験を繰り返し、上下の値を除外し、中の3つの値を平均することにより鋼棒の、太さおよび材質のバラツキに対応した。なお、同一条件で実験が容易に、繰り返し行える様にばかりの両端はそれぞれコンクリートアーロックに埋め込まれた柱で待ちつけて、固定端とした。また、アーロックにはL形鋼でわくを作り、固定端条件が完全になる様とした。

3. ひずみ速度の影響を考慮した理論式の説明

解析に先立ち主な仮定を述べると次のことと/orである

- 1° ばかりは十分塑性に富んでいて完全剛塑性理論が適用できるものとする
- 2° 軸降伏応力および剪断降伏応力の影響は無視し、ばかりは動的塑性モーメントにより変形するものと考える
- 3° 変形時間は微小であるから、衝撃点の鉛直方向たわみ速度は近似的に、停止するまで直線変化をするものとする。すなはち、この間は衝撃体ばかりに行き渡り、ばかりと一体となって運動するものとみなす。
- 4° 織幾学的の変形の影響を無視し、自由度1の変形モードを採用する

〈記号の説明〉

i: 単位長さ当たりの衝撃量 ($= \frac{\pi a^2}{4} V$)

M_0 : 静的全塑性モーメント

M_d : 動的全塑性モーメント

y: たわみ速度

m_0 : 衝撃体の質量 ($\text{また } m_0 = \frac{M_0}{a}$)

m: ばかりの単位長さ当たりの質量

D, P: 材料による定数 (軟鋼の場合 D=40.4, P=5)

t_0 : 変形に要した時間

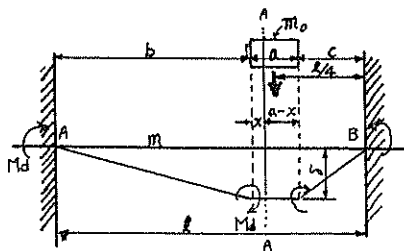


図-1 衝撃負荷によるばかりの変形

図-1は任意点(半点)に等分布衝撃が作用した場合のばかりの変形状態を示したものである。A-A断面の左側部分に

$$\text{つけて考えると}, \int x - \frac{2}{b} \int_0^x M_d dx = (m'_0 + m) x \dot{\gamma} + \frac{1}{b} \int_0^b m x dx \quad (1)$$

$$\text{ここで}, \quad M_d = M_0 \left[1 + \left(\frac{\dot{\gamma}}{2Db} \right)^{\frac{1}{p}} \right], \quad \dot{\gamma} = V_0 \left(1 - \frac{x}{X_f} \right) \quad (2)$$

(2)式を(1)式に代入して、整理し。

$$x=0 \text{とおけば} \quad V_0 = \frac{i_b x}{(m'_0 + m)x + \frac{1}{2}mb}, \quad x=\text{柱で}, \quad X_f = \frac{i_b x}{2M_0 \left[1 + \left(\frac{V_0}{2Db} \right)^{\frac{1}{p}} \right]^{p+1}} \quad (3)$$

$$\text{よって、求めた塑性変形量 } \delta_E \text{ は}, \quad \delta_E = \int_0^{X_f} \dot{\gamma} dx = \frac{1}{2} V_0 X_f \quad (4)$$

として表わされる。ここで、 $\alpha = \frac{I^2}{m_0 M_0}$, $\beta = \frac{m_0}{m'_0}$ のパラメータを用いて $\frac{\delta}{X}$ を表わすと、

$$\frac{\delta}{X} = \frac{\alpha b x^2}{2 \ell a^2} \left\{ \frac{x}{a} + \left(\frac{x}{a} + \frac{b}{2a} \right) \frac{1}{\alpha \beta} \right\}^{-1} \left(1 + \frac{1}{p+1} \left[\frac{\sqrt{28A}}{2Db \left(1 + \left(1 + \frac{b}{2a} \right) \frac{1}{\alpha \beta} \right)} \right]^{\frac{1}{p}} \right)^{-1} \quad (5)$$

A-A断面の右側部分についても、同様にして δ_E を求まるので、この δ_E と(4)式の δ_E を等置して、この関係を満足する α の値を試算時に見出せば、この α の値により塑性変形量 δ の値も決定されることになる。

所が、実際、 α の値を $\alpha = \frac{ab}{b+c}$ より求めて、この値により塑性変形量 δ の値を決定してもほとんど誤差はない。計算に際してはこの α の算式を用い A-A断面の左右どちらかの側について行えば、十分な近似解が得られるものと思われる。

4. 結果と考察

実験値をプロットしていくと、その軌跡はロジスティック曲線に似た形を示す。この理由としては、衝撃量が小さい間は、加えられたエネルギーのうち最大弹性エネルギーの占める割合が、塑性変形に用いるエネルギーに比例して相対的に大きくなり、また、衝撃量が大きくなりて、変形が増大していくヒモメントに加えて、剪断降伏応力および軸降伏応力などが影響して相互に干渉し、ついに軸降伏応力の影響が変形を支配するようになるとからと思われる。図-2によると動的全塑性モーメントだけを考慮した理論式も実験値の接線として分離していくことがわかる。*

5. 結論

図-2に比較の一例を示す。提案した理論式は実験値とほぼ良好な一致を示した。前節で述べた様に、塑性変形に対して弾性変形がかなり大きく作用する場合、および軸力が支配的の場合にはこの算式の適用はかなりの誤差を生じるが、それ以外の場合においては十分な近似値を与えるものと思う。

参考文献

- 1) P. S. Symonds and S. R. Bodner
"Experimental and Theoretical Investigation of the Plastic Deformation of Cantilever Beams Subjected to Impulsive Loading"
- 2) 野中泰二郎「衝撃を受けた構造物の塑性変形」; (モードトによる解は軸力および剪断力も含めた完全解の接線となりる事に言われてる。)

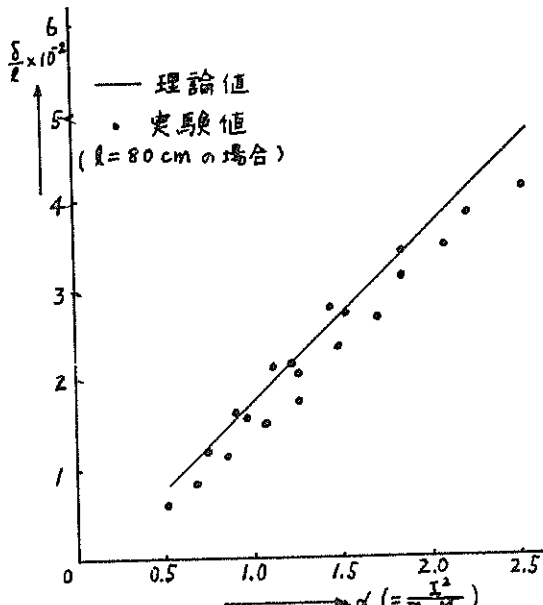


図-2 理論値と実験値との比較